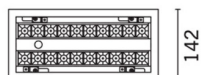
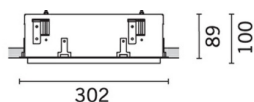


Ultimo aggiornamento delle informazioni: Febbraio 2018



Incasso Frame orientabile 2 x 10 celle - LED - Warm White - Alimentazione dimmerabile DALI - 34°

Codice prodotto

MQ33

Descrizione tecnica

Apparecchio rettangolare ad incasso con sorgenti LED. Vano strutturale in lamiera di acciaio sagomata con faldina perimetrale di battuta. I due elementi lineari a 10 celle luminose, realizzati in alluminio pressofuso e direzionabili indipendentemente, permettono di indirizzare l'emissione con possibilità di orientamento basculante +/- 30°. Ottiche ad alta definizione in termoplastico metallizzato, integrate in posizione arretrata nello schermo antiabbagliamento nero; la composizione strutturale del sistema ottico evita l'effetto puntiforme, permette di ottenere una distribuzione luminosa definita e circolare e determina un'emissione ad abbagliamento controllato. Fornito con gruppo di alimentazione dimmerabile DALI collegato all'apparecchio.

Installazione

ad incasso con sistema di bloccaggio meccanico per controsoffitti da 1 a 25 mm; possibilità di installazione a soffitto e a parete (verticale + orizzontale) - asola di preparazione 135 x 295

Dimensione (mm)

302x142x89

Colore

Nero/Nero (43) | Bianco/Nero (47) | Grigio/Nero (74)

Peso (Kg)

2.8

Montaggio

incasso a parete | incasso a soffitto

Cablaggio

su box di alimentazione: connessioni a vite

Note

possibilità di dimmerazione tramite pulsante (TOUCH DIM/PUSH); per questa opzione consultare le istruzioni incluse nella confezione

Soddisfa EN60598-1 e relative note



Configurazione di prodotto: MQ33

Caratteristiche del prodotto

Flusso totale emesso [Lm]: 2875.3
Potenza totale [W]: 46.5
Efficienza luminosa [Lm/W]: 61.8
Life Time: 50,000h - L90 - B10 (Ta 25°C)

Flusso totale disperso verso l'alto [Lm]: 0
Flusso in emergenza [Lm]: /
Tensione [V]: -
Numero di vani: 2

Caratteristiche del vano Tipo 1

Rendimento [%]: 80
Codice lampada: LED
Codice ZVEI: LED
Potenza nominale [W]: 21
Flusso nominale [Lm]: 1800
Intensità massima [cd]: /
Angolo di apertura [°]: 32°

Numero di lampade per vano: 1
Attacco: /
Perdite del trasformatore [W]: 2.3
Temperatura colore [K]: 3000
IRC: 90
Lunghezza d'onda [Nm]: /
Step MacAdam: 3

Polare

| | | | | | | |
|--|---------------------|--|------------|-----|-----|------------------|
| | Imax=4934 cd | CIE nL 0.80 100-100-100-100-80 UGR <10-<10 DIN A.61 UTE 0.80A+0.00T F*1=1000 F*1+F*2=1000 F*1+F*2+F*3=1000 CIBSE LG3 L<200 cd/m ² at 65° BZ1 | Lux | | | |
| | | | h | d | Em | E _{max} |
| | | | 2 | 1.1 | 948 | 1233 |
| | | | 4 | 2.3 | 237 | 308 |
| | | | 6 | 3.4 | 105 | 137 |
| | 8 | 4.6 | 59 | 77 | | |

Coefficienti di utilizzazione

| R | 77 | 75 | 73 | 71 | 55 | 53 | 33 | 00 | DRR |
|------|----|----|----|----|----|----|----|----|-----|
| K0.8 | 72 | 69 | 66 | 64 | 68 | 66 | 65 | 63 | 78 |
| 1.0 | 75 | 72 | 70 | 68 | 71 | 69 | 69 | 66 | 83 |
| 1.5 | 79 | 77 | 75 | 73 | 76 | 74 | 73 | 71 | 89 |
| 2.0 | 81 | 80 | 78 | 77 | 79 | 77 | 76 | 74 | 93 |
| 2.5 | 83 | 82 | 81 | 80 | 80 | 79 | 79 | 77 | 96 |
| 3.0 | 84 | 83 | 82 | 81 | 82 | 81 | 80 | 78 | 98 |
| 4.0 | 85 | 84 | 84 | 83 | 83 | 82 | 81 | 79 | 99 |
| 5.0 | 85 | 85 | 85 | 84 | 84 | 83 | 82 | 80 | 100 |

Diagramma UGR

| Corrected UGR values (at 1800 lm bare lamp luminous flux) | | | | | | | | | | | |
|---|------|------------------|------|------|------|------|----------------|------|------|------|------|
| Reflect.: | | 0.70 | 0.70 | 0.50 | 0.50 | 0.30 | 0.70 | 0.70 | 0.50 | 0.50 | 0.30 |
| ceiling/cav | | 0.70 | 0.70 | 0.50 | 0.50 | 0.30 | 0.70 | 0.70 | 0.50 | 0.50 | 0.30 |
| walls | | 0.50 | 0.30 | 0.50 | 0.30 | 0.30 | 0.50 | 0.30 | 0.50 | 0.30 | 0.30 |
| work pl. | | 0.20 | 0.20 | 0.20 | 0.20 | 0.20 | 0.20 | 0.20 | 0.20 | 0.20 | 0.20 |
| Room dim | | viewed crosswise | | | | | viewed endwise | | | | |
| x | y | | | | | | | | | | |
| 2H | 2H | -3.6 | -3.1 | -3.3 | -2.8 | -2.6 | -3.6 | -3.1 | -3.3 | -2.8 | -2.6 |
| | 3H | -3.7 | -3.2 | -3.4 | -3.0 | -2.7 | -3.7 | -3.2 | -3.4 | -3.0 | -2.7 |
| | 4H | -3.8 | -3.3 | -3.5 | -3.1 | -2.8 | -3.8 | -3.3 | -3.5 | -3.1 | -2.8 |
| | 6H | -3.9 | -3.5 | -3.5 | -3.1 | -2.8 | -3.9 | -3.5 | -3.5 | -3.1 | -2.8 |
| | 8H | -3.9 | -3.5 | -3.5 | -3.2 | -2.8 | -3.9 | -3.5 | -3.5 | -3.2 | -2.8 |
| 12H | -3.9 | -3.6 | -3.6 | -3.2 | -2.9 | -3.9 | -3.6 | -3.6 | -3.2 | -2.9 | |
| 4H | 2H | -3.8 | -3.3 | -3.5 | -3.1 | -2.8 | -3.8 | -3.3 | -3.5 | -3.1 | -2.8 |
| | 3H | -3.9 | -3.6 | -3.6 | -3.2 | -2.9 | -3.9 | -3.6 | -3.6 | -3.2 | -2.9 |
| | 4H | -4.0 | -3.7 | -3.6 | -3.3 | -2.9 | -4.0 | -3.7 | -3.6 | -3.3 | -2.9 |
| | 6H | -4.1 | -3.8 | -3.7 | -3.4 | -3.0 | -4.1 | -3.8 | -3.7 | -3.4 | -3.0 |
| | 8H | -4.2 | -3.9 | -3.7 | -3.5 | -3.0 | -4.2 | -3.9 | -3.7 | -3.5 | -3.0 |
| 12H | -4.2 | -4.0 | -3.8 | -3.5 | -3.1 | -4.2 | -4.0 | -3.8 | -3.5 | -3.1 | |
| 8H | 4H | -4.2 | -3.9 | -3.7 | -3.5 | -3.0 | -4.2 | -3.9 | -3.7 | -3.5 | -3.0 |
| | 6H | -4.2 | -4.0 | -3.8 | -3.6 | -3.1 | -4.2 | -4.0 | -3.8 | -3.6 | -3.1 |
| | 8H | -4.3 | -4.1 | -3.8 | -3.7 | -3.2 | -4.3 | -4.1 | -3.8 | -3.7 | -3.2 |
| | 12H | -4.4 | -4.2 | -3.9 | -3.7 | -3.2 | -4.4 | -4.2 | -3.9 | -3.7 | -3.2 |
| 12H | 4H | -4.2 | -4.0 | -3.8 | -3.5 | -3.1 | -4.2 | -4.0 | -3.8 | -3.5 | -3.1 |
| | 6H | -4.3 | -4.1 | -3.8 | -3.7 | -3.2 | -4.3 | -4.1 | -3.8 | -3.7 | -3.2 |
| | 8H | -4.4 | -4.2 | -3.9 | -3.7 | -3.2 | -4.4 | -4.2 | -3.9 | -3.7 | -3.2 |
| Variations with the observer position at spacing: | | | | | | | | | | | |
| S = | 1.0H | 6.8 / -18.5 | | | | | 6.8 / -18.5 | | | | |
| | 1.5H | 9.6 / -18.7 | | | | | 9.6 / -18.7 | | | | |
| | 2.0H | 11.6 / -23.0 | | | | | 11.6 / -23.0 | | | | |